

Горизонтальные и вертикальные датумы

Исходная точка в центральном зале Пулковской обсерватории

www.gao.spb.ru



Трофимов М.Е.

Исходная точка в центральном зале Пулковской обсерватории

gallery.timofeyev.ru



© 2010 Vasilij A. Timofeyev

Трофимов М.Е.

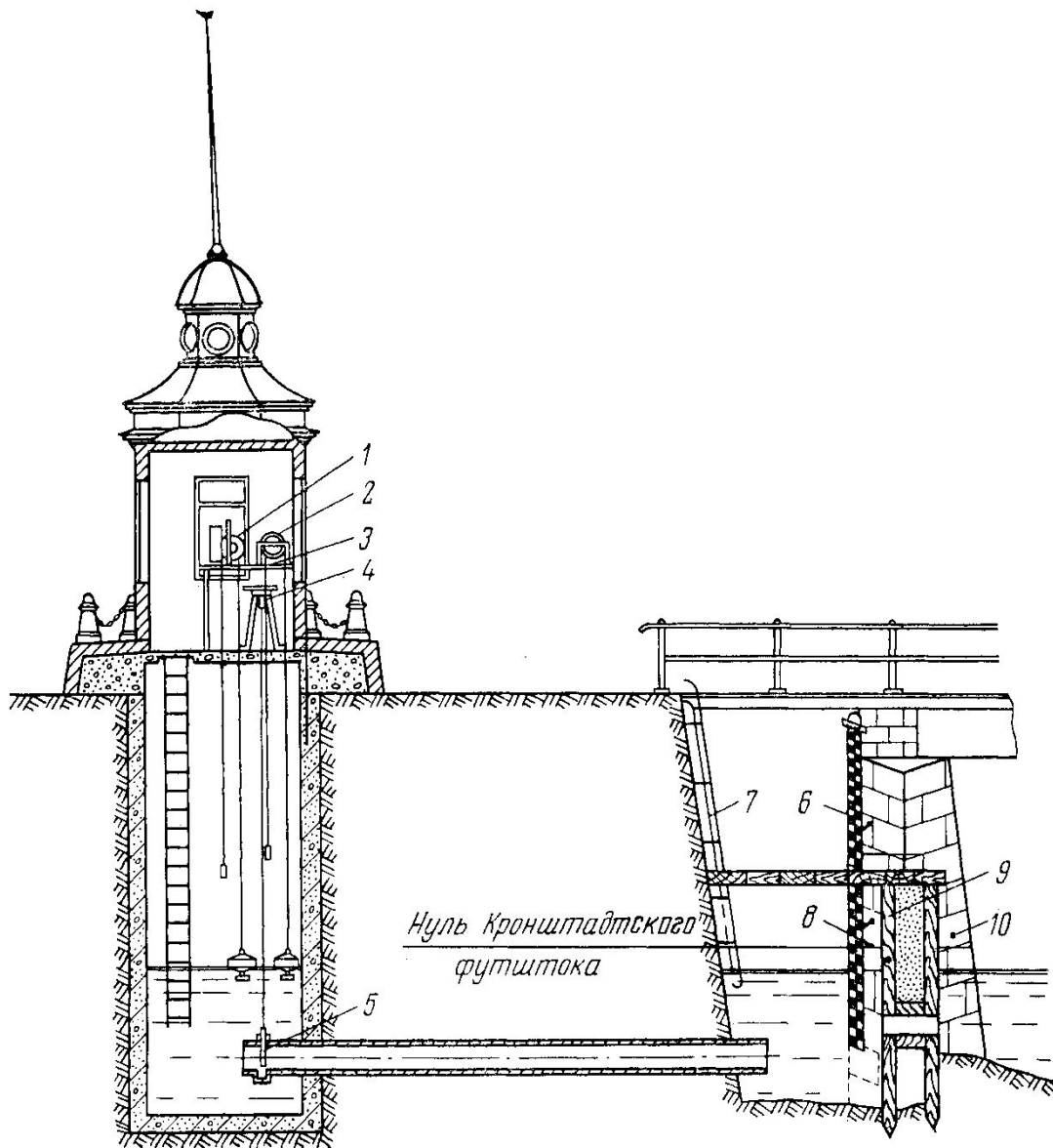
Здание Кронштадтского футштока



Трофимов М.Е.

Схема Кронштадтского футштока

<http://rudocs.exdat.com/docs/index-274874.html?page=3>



Нуль Кронштадтского футштока



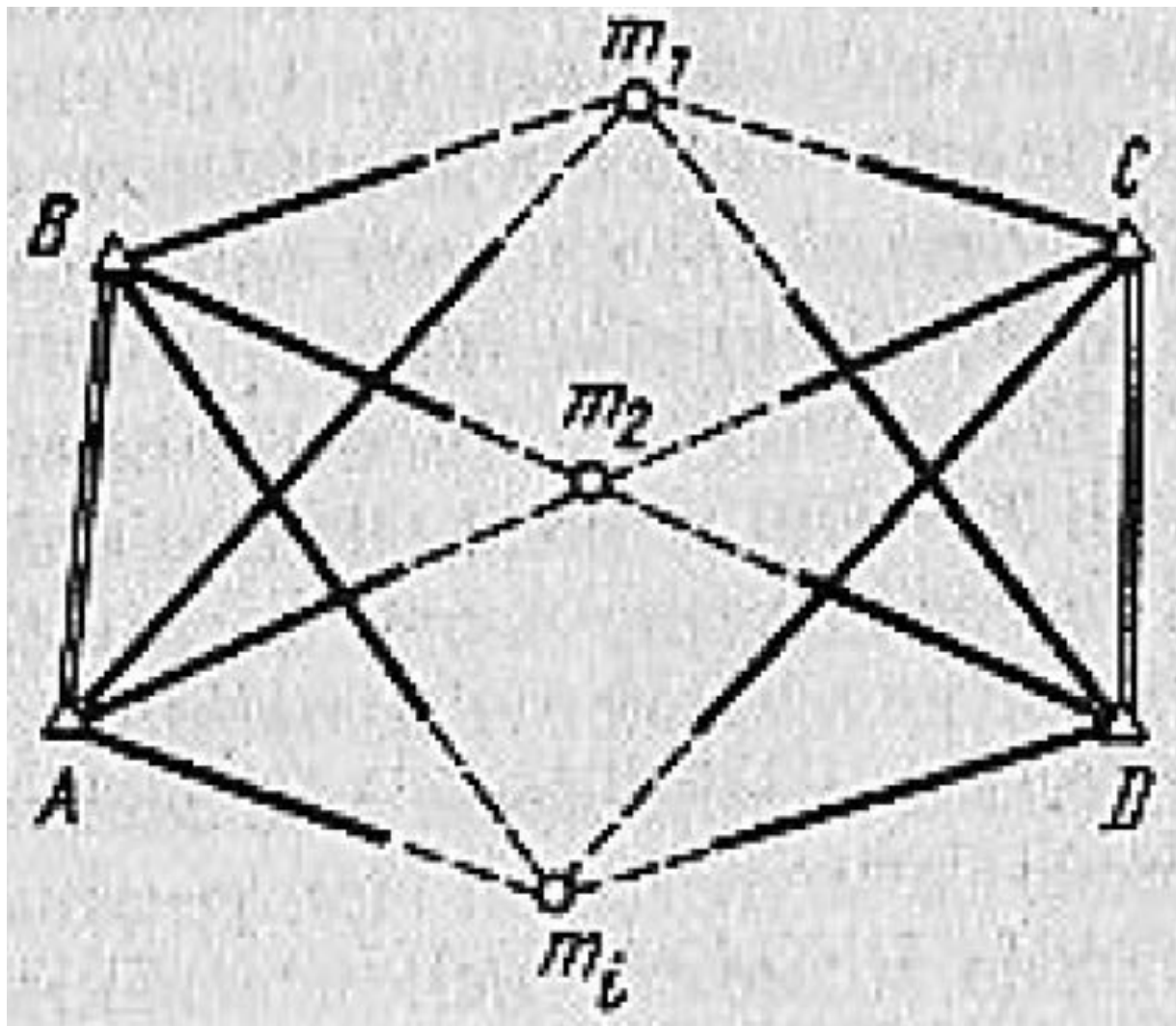
Основные виды геодезических сетей в СССР

- Государственная геодезическая сеть
- Геодезические сети сгущения
- Съёмочные сети

Основные методы построения геодезических сетей

- **Триангуляция** (предложена в 1614 Снеллиусом, широко применяется с конца 18 века).
- **Трилатерация** (измеряются длины сторон, метод получил широкое развитие с появлением свето- и радио- дальномеров)
- **Полигонометрия** (измеряются длины сторон и углы поворота)
- **Комбинированные сети** (сочетание способов)
- **Линейно-угловые геодезические сети** (измеряются углы и стороны треугольников, ряд линий контролируется по азимуту).
- **Динамическая триангуляция** (предложена в 1920 Вайсяля), в 1940 применена для смыкания сетей через Крит
- **Спутниковые методы** создания геодезических сетей
- **Радиоинтерферометрия со сверхдлинной базой (РИСБ)**
- *Астрономо-геодезические сети*

Схема динамической триангуляции (по Кушнину И.Ф. , 2001)



Состав геодезических сетей в СССР/РФ

- Сети триангуляции, полигонометрии и трилатерации 1,2, 3 и 4 классов, отличающиеся точностью измерения углов, длин и порядком развития (геодезическая основа)
- Нивелирные сети I, II, III и IV классов (высотное обоснование)

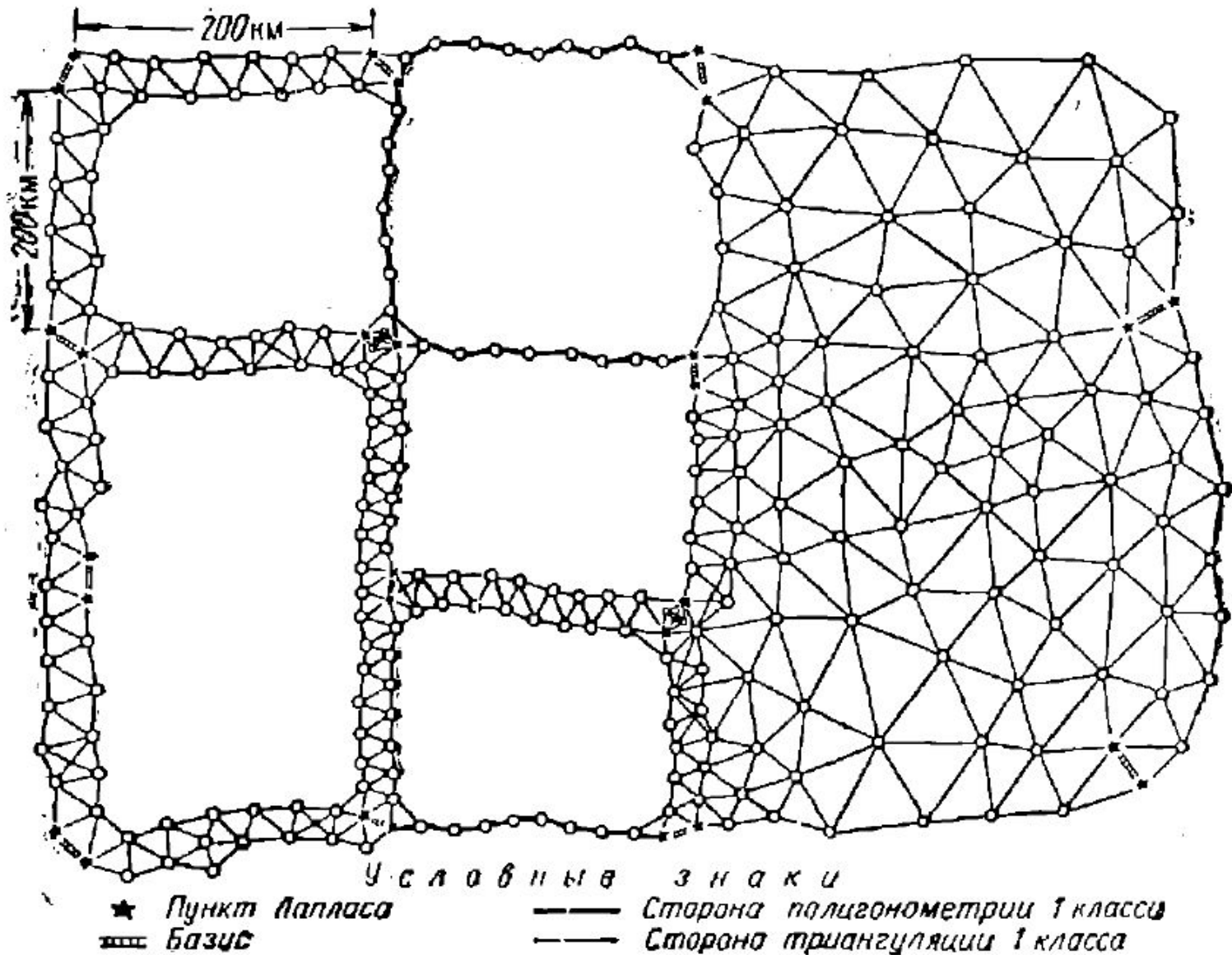
Геодезические пункты

- Астрономический пункт (пункт Лапласа) – пункт для которого астрономическими методами определены широта, долгота и азимут (как правило на тригонометрический пункт);
- Тригонометрический пункт – пункт для которого определены тригонометрическими методами;
- Пункт высотной сети (реперы и марки) – точка высота которой определена путём нивелирования;

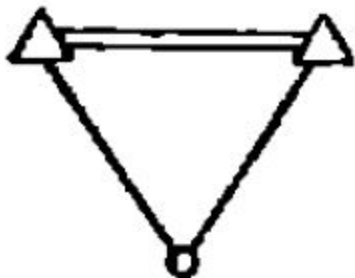
Показатели геодезической и нивелирной сетей (по Большаков и др., 1975)

Наименование показателей	По «Положению» 1954–1961 гг.				По «Положению» 1939 г.				
	1 кл.	2 кл.	3 кл.	4 кл.	I кл.	II кл. осн. ряд	II кл. зап. сети	III кл.	IV кл.
Длина звена триангуля- ции, км	200	—	—	—	200–250	100–120	—	—	—
Средняя длина стороны треугольника, км	20–25	7–20	5–8	2–5	25–30	15–20	13	8	—
Обратный вес звена триан- гуляции	Не более 100 ед. 6-го зн. лог.				Не более 120 ед.				
Относительная ошибка ба- зисной (выходной) сто- роны $\left(\frac{m_b}{b}\right)$	$\frac{1}{400\ 000}$	$\frac{1}{200\ 000}$	$\frac{1}{200\ 000}$	$\frac{1}{200\ 000}$	$\frac{1}{300\ 000}$	$\frac{1}{200\ 000}$	$\frac{1}{200\ 000}$	—	Засеч- ки
Примерная относительная ошибка стороны в слабом месте $\left(\frac{m_s}{s}\right)$	$\frac{1}{150\ 000}$	$\frac{1}{300\ 000}$	$\frac{1}{120\ 000}$	$\frac{1}{70\ 000}$	$\frac{1}{100\ 000}$	$\frac{1}{80\ 000}$	$\frac{1}{35\ 000}$	$\frac{1}{15\ 000}$	
Наименьшее значение угла треугольника	40°	20°	20°	20° ^а	40°	30°	20°	15°	20°
Допустимая невязка тре- угольника	3"	4"	6"	8"	3"	5"	9"	15"	35"
Средняя квадратическая ошибка угла (по невяз- кам треугольников) . . .	± 0,7"	± 1"	± 1,5"	± 2"	0,7–0,9"	1,2–1,5"	2,0–2,5"	4,0–5,0"	—
Средняя квадратическая ошибка астроопределе- ний:									
а) широты	± 0,3"	± 0,3"	—	—	± 0,2–0,4"	± 0,4"	—	—	—
б) долготы	± 0 ^с ,03	± 0 ^с ,03	—	—	± 0 ^с ,03	± 0 ^с ,05	—	—	—
в) азимуты	± 0,5"	± 0,5"	—	—	± 0,5"	± 1,0"	—	—	—

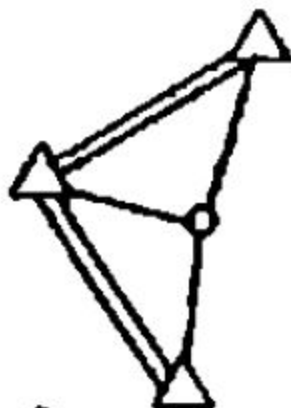
Схема государственной геодезической сети 1 класса (по Большаков и др. , 1975)



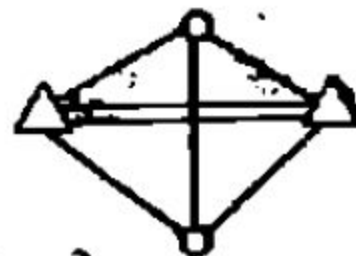
Типовые схемы привязки государственной геодезической сети 2 класса (по Большаков и др. , 1975)



Треугольник



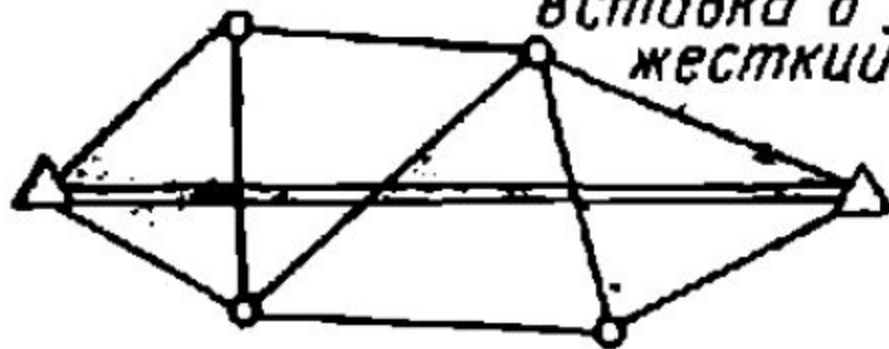
Вставка в жесткий угол



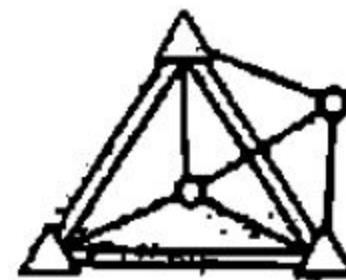
Геодезический четырехугольник



Веер

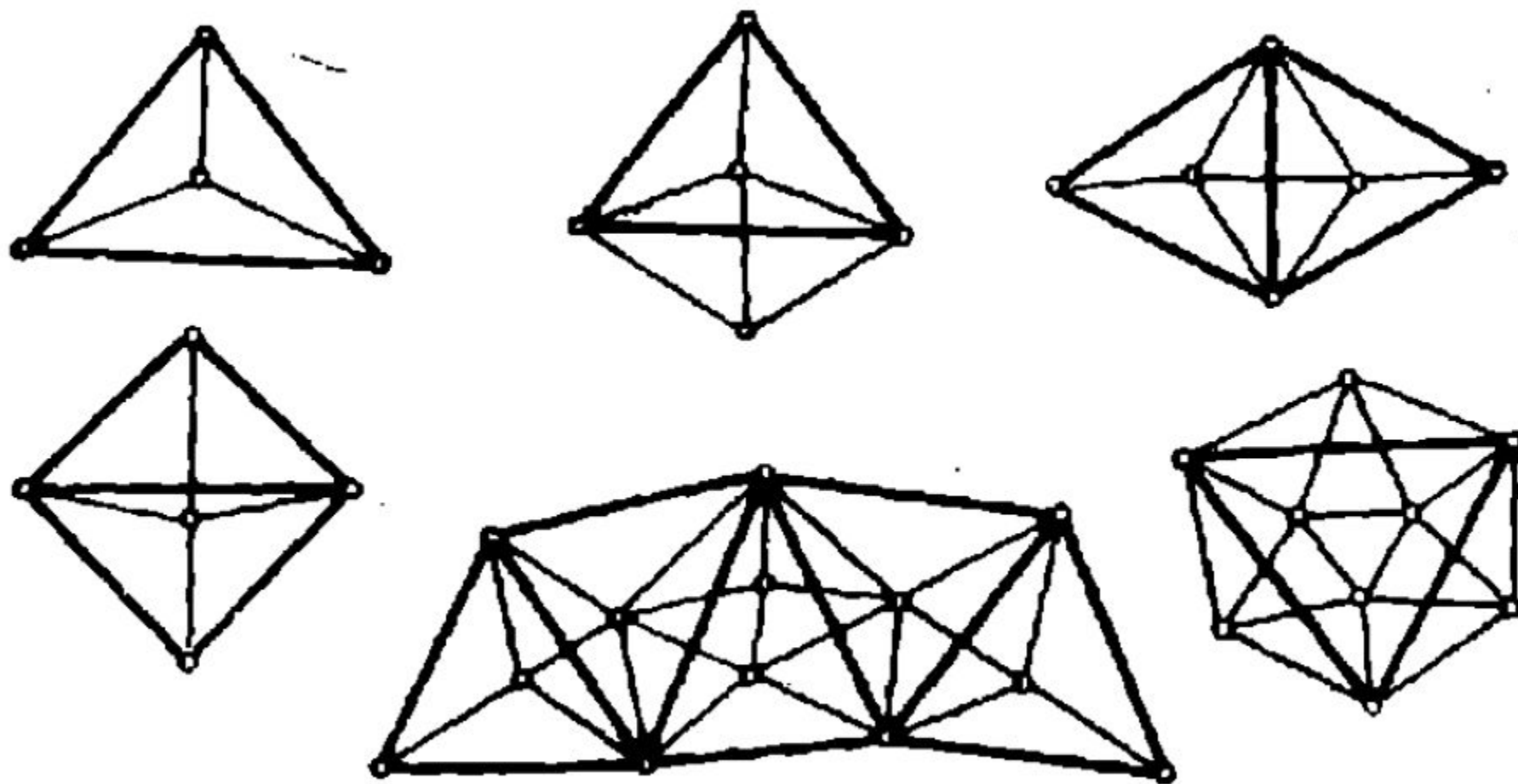


Цепочка треугольников

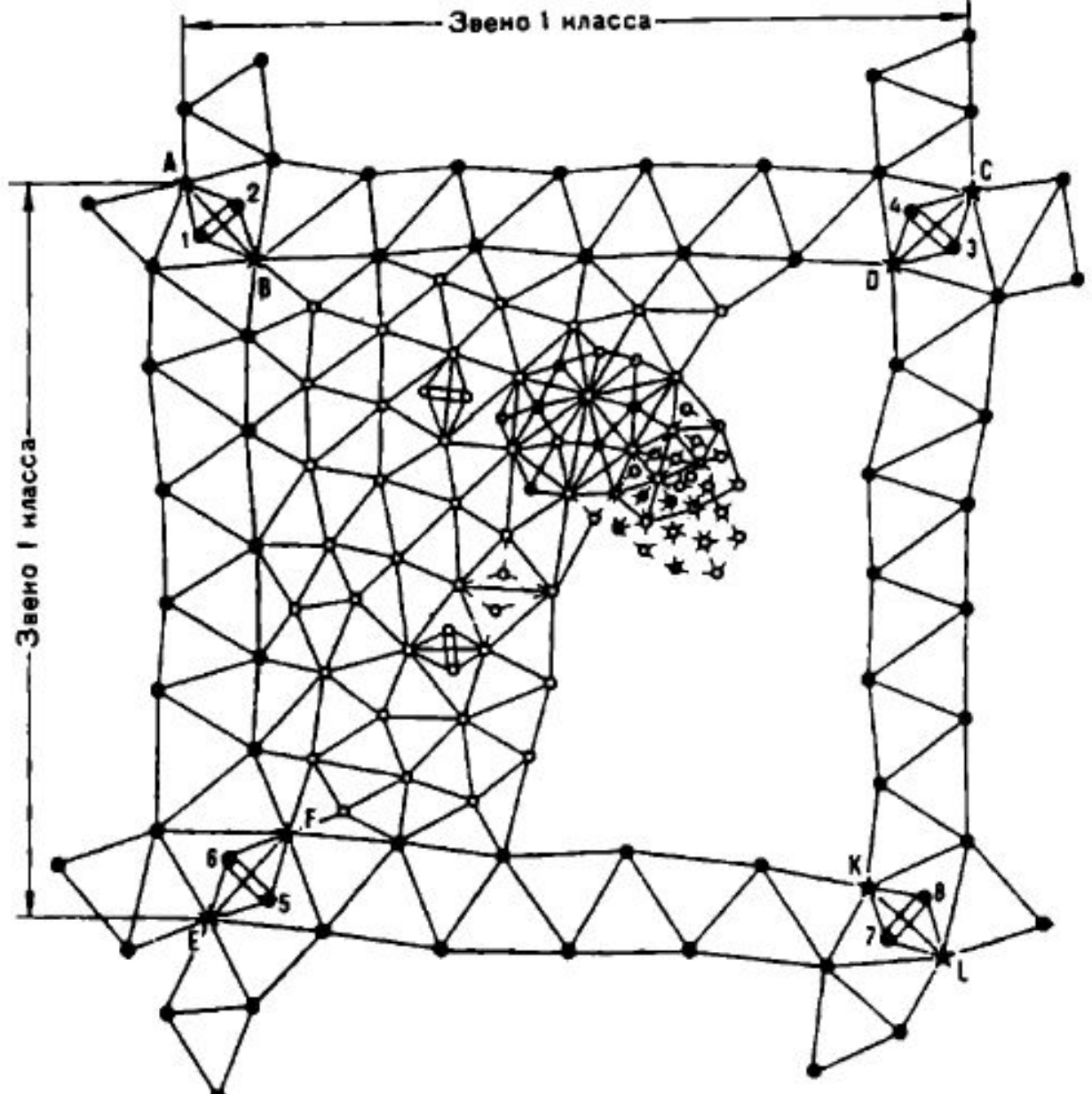


Комбинация центральной системы с геодезическим четырехугольником

Типовые схемы привязки государственной геодезической сети 3-4 класса (по Большаков и др. , 1975)



**Схема
государственной
триангуляционной
сети (по
Красовскому)**



● — пункты 1-го класса; ○ — пункты 2-го класса; ⊙ — пункты 3-го класса; ☆ — пункты 4-го класса; ★ — астрономические пункты; 1 — 2, 3 — 4, 5 — 6, 7 — 8 — базисы

Виды реперов нивелирной сети в России/СССР

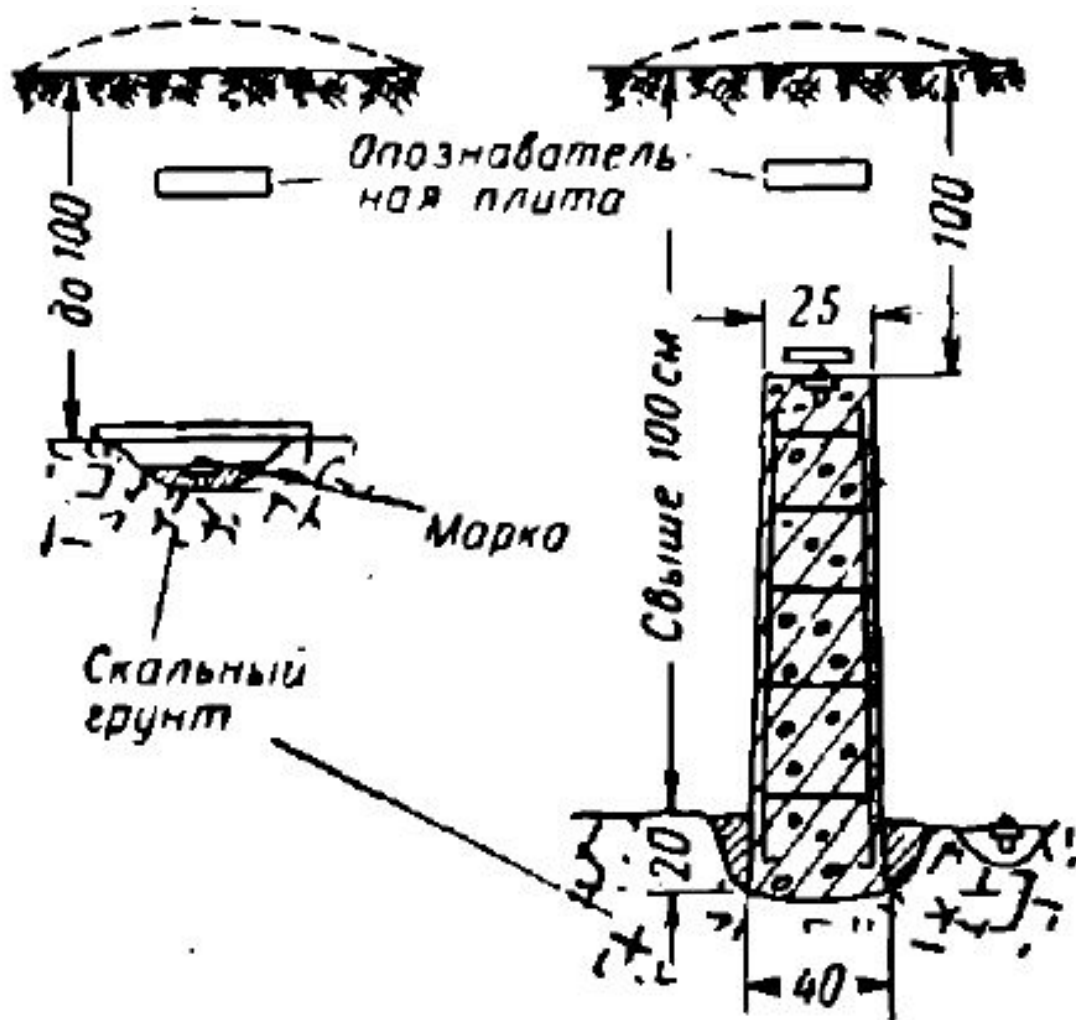
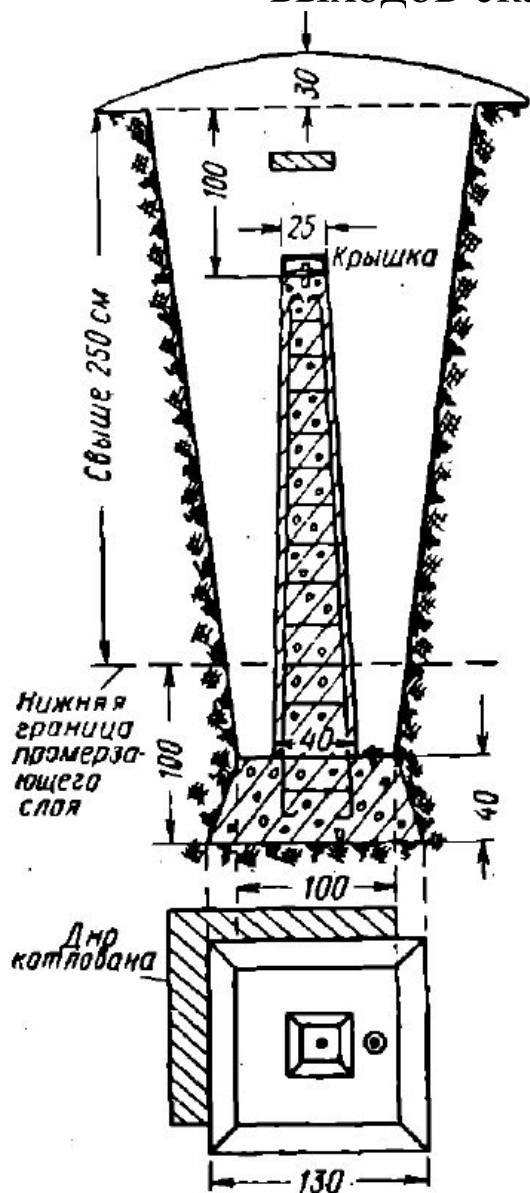
- Фундаментальные (в сетях I-II класса, через 50-80 км, вблизи основных водомерных постов)
- Грунтовые рядовые реперы
- Глубинные трубчатые реперы
- Глубинные реперы с гибкой штангой
- Стенные марки и реперы (в сетях всех классов через 5-15 км)

Геодезические знаки по ГОСТ 21668-85

- I - знаки, изготавливаемые из стальных труб, у которых внутренняя пирамида, имеющая столик для установки геодезического прибора, жестко связана с наружной пирамидой, несущей площадку для наблюдателя с визирной целью (сложные сигналы);
- II - знаки, изготавливаемые из уголковой стали, у которых внутренняя пирамида, имеющая столик для установки геодезического прибора, не имеет связи с наружной пирамидой, несущей площадку для наблюдателя и визирную цель (простые сигналы);
- III - знаки в виде пирамиды, пирамиды-штатива, изготавливаемые из стальных труб или уголковой стали.

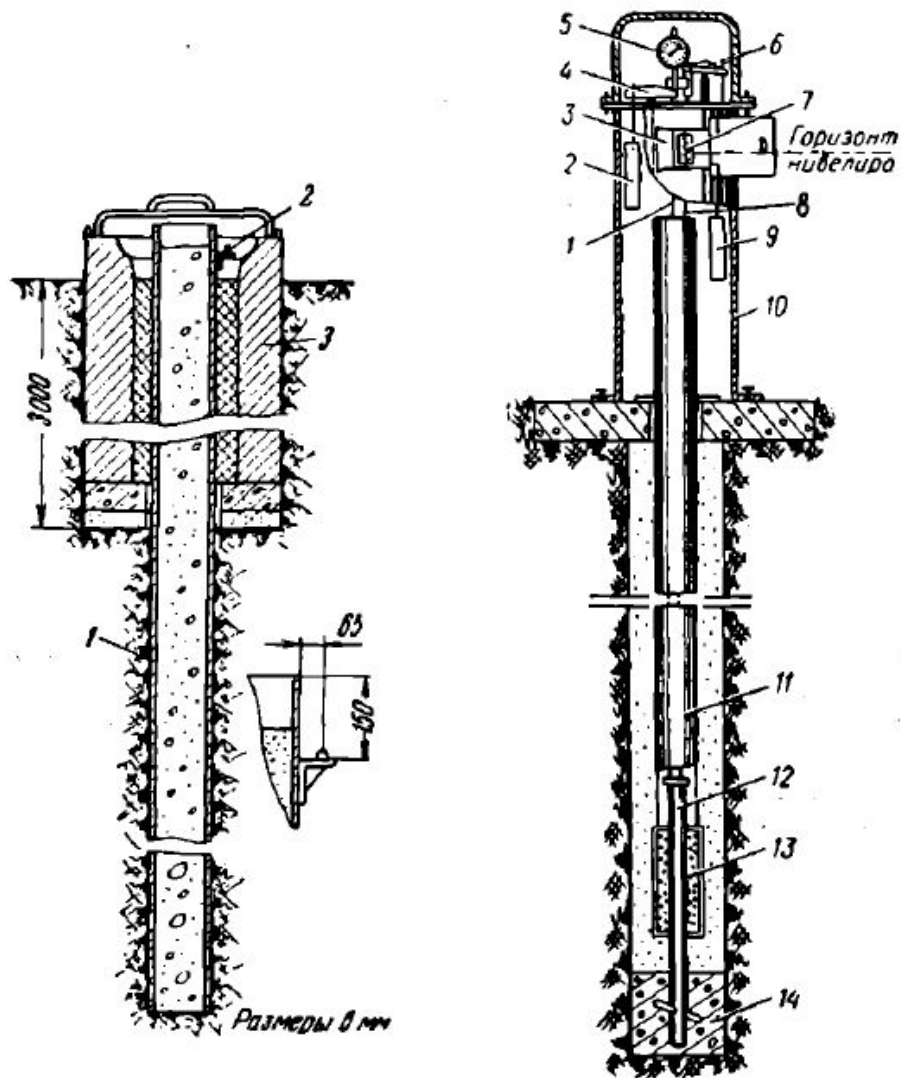
Фундаментальные реперы нивелирной сети

слева - для зоны сезоннопромерзающих мягких грунтов, справа - для выходов скальных пород (по Большаков и др., 1975)

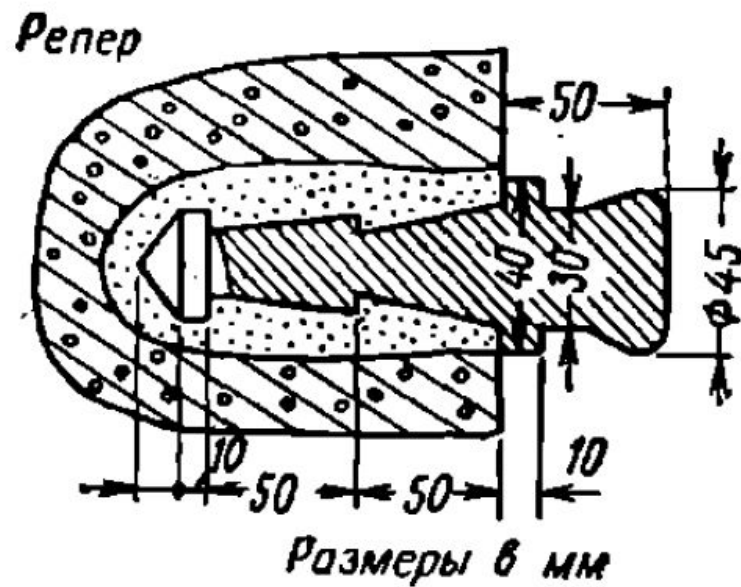
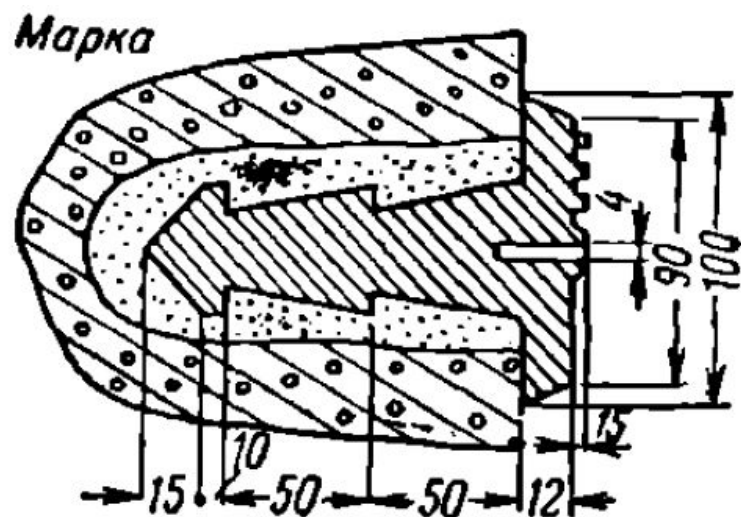


Глубинные реперы нивелирной сети

слева – грунтовый трубчатый, справа – с гибкой штангой (по Большакову и др., 1975)



Стенные реперы и марки нивелирной сети (по Большаков и др., 1975)

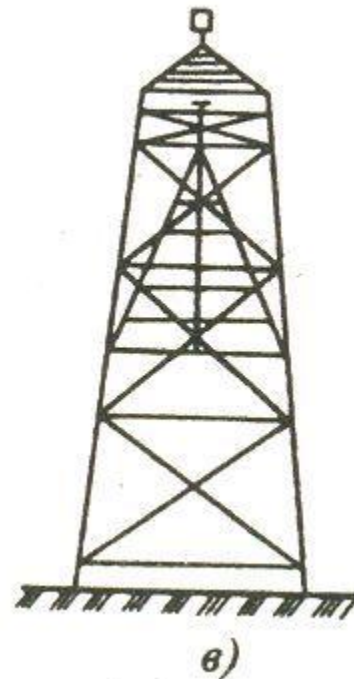
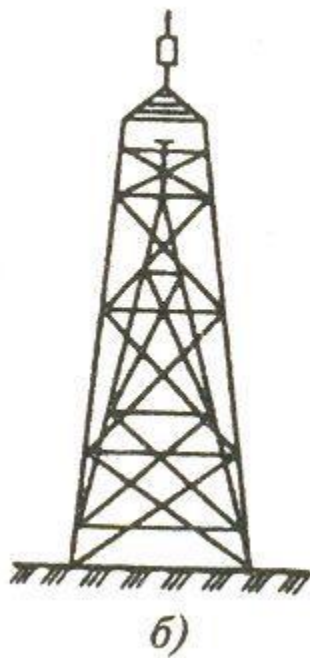


Нивелирная марка на здании театра кукол в Москве

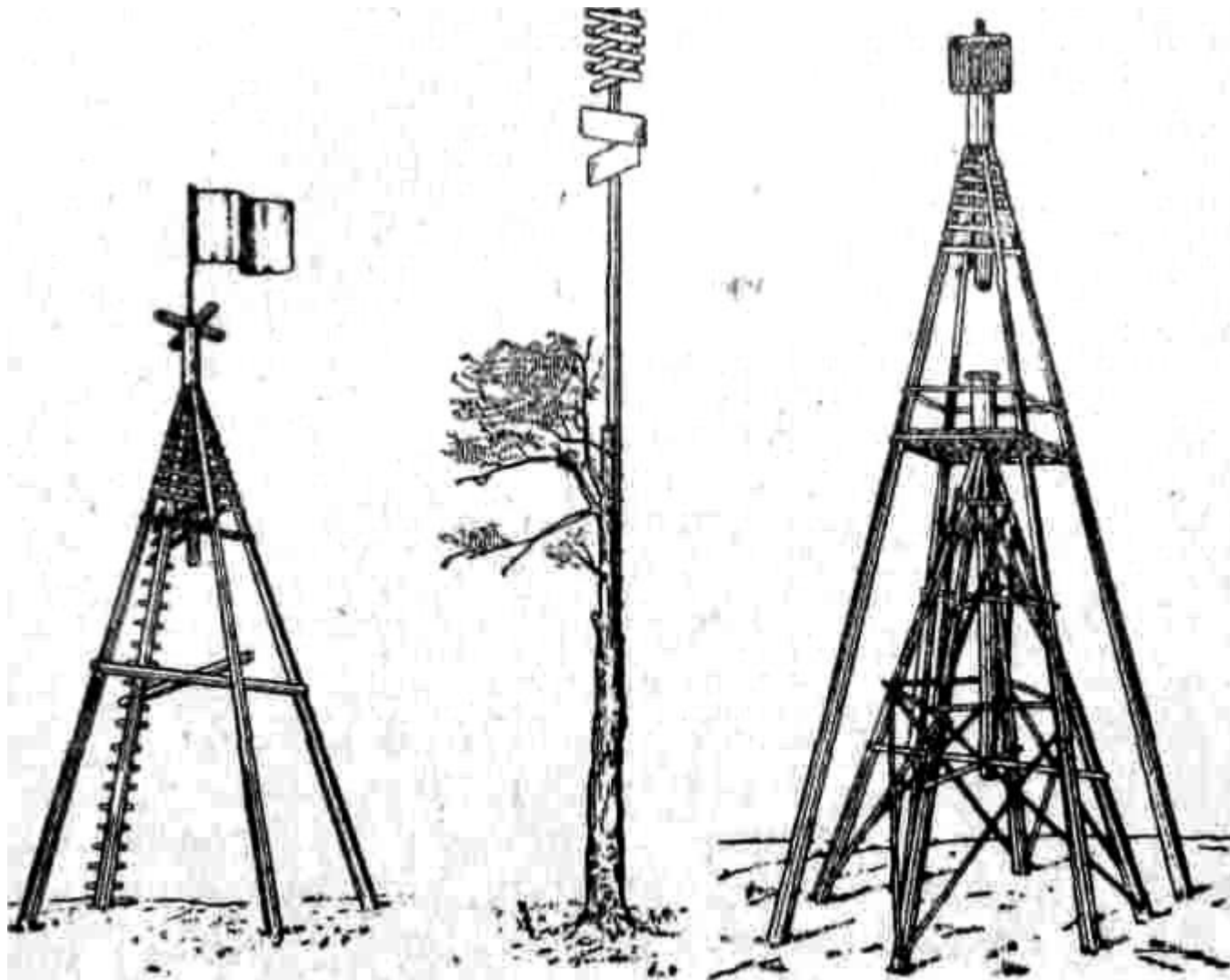
<http://ssgen.livejournal.com/410604.html>



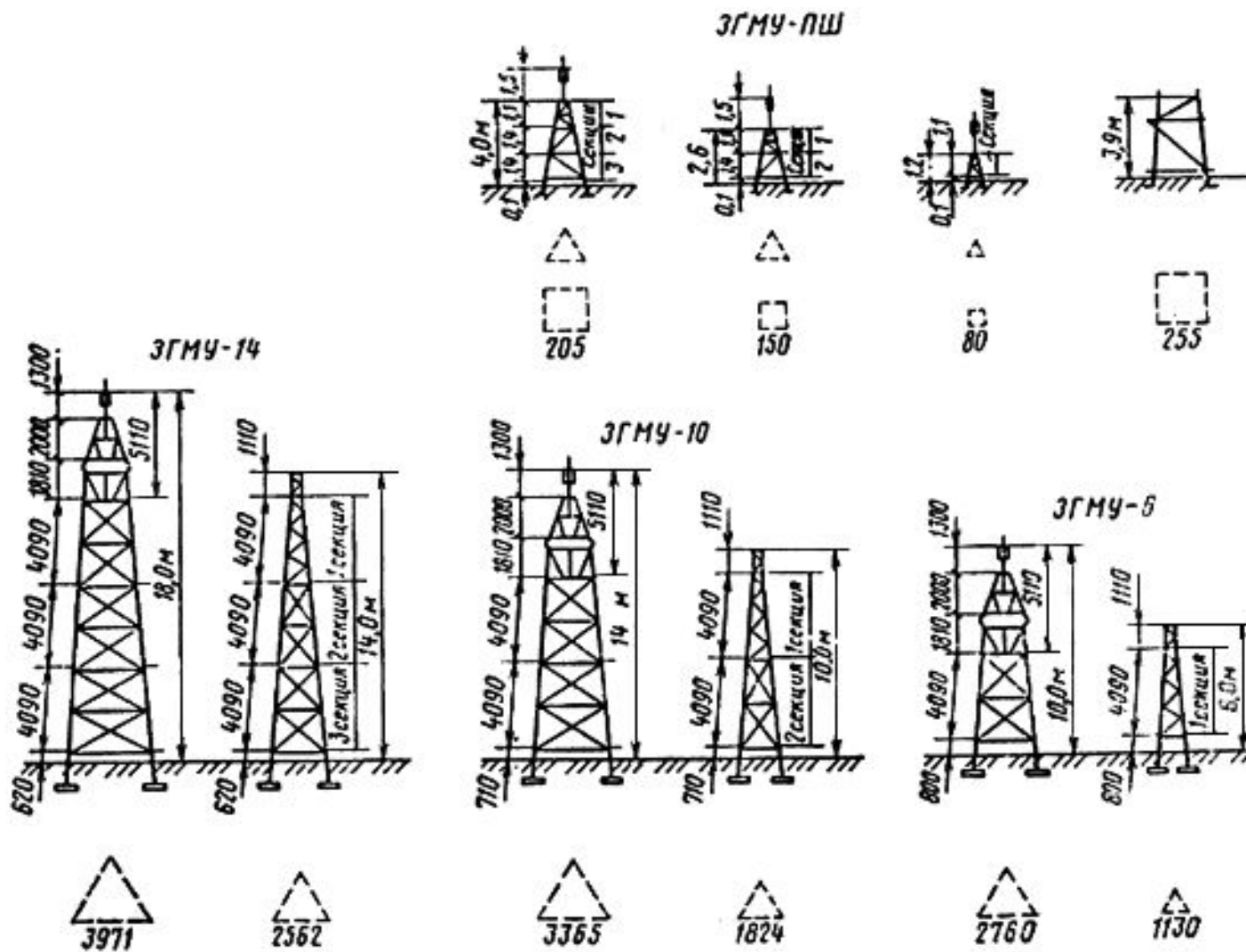
а – пирамида, б- простой сигнал, в – сложный сигнал.



Различные варианты геодезических знаков



Геодзическис знакис (по ГОСТ 21668-85)



Геодезический знак на побережье Белого моря

<http://lumigraph.livejournal.com/1140.html>



Трофимов М.Е.

Геодезическая вышка



Металлическая пластина для установки теодолита (слева) и репер (справа).

<http://wikipedia.org>

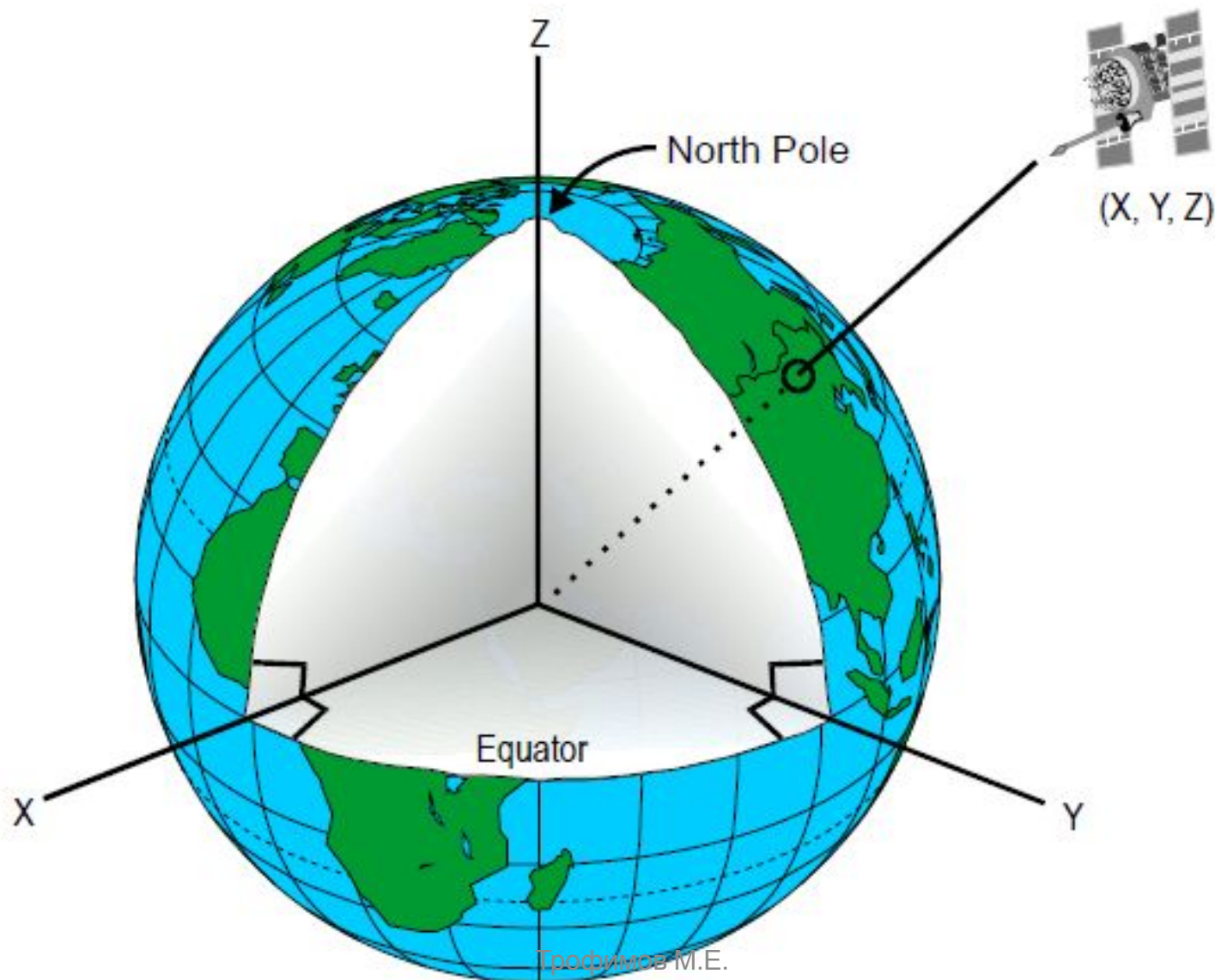


Репер нивелирной сети в США

litau.ru

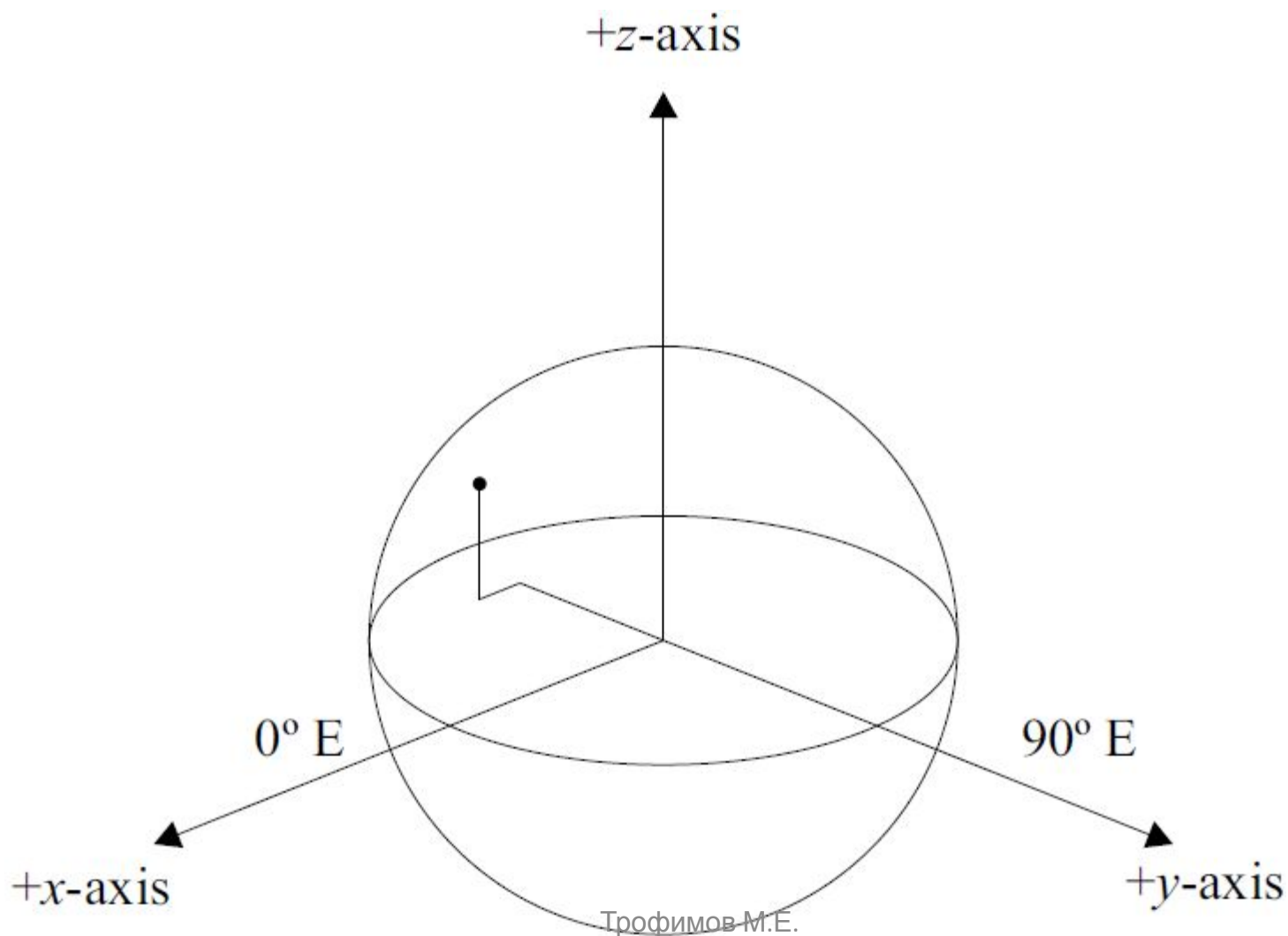


Схематический вид XYZ системы координат применяемых в GPS

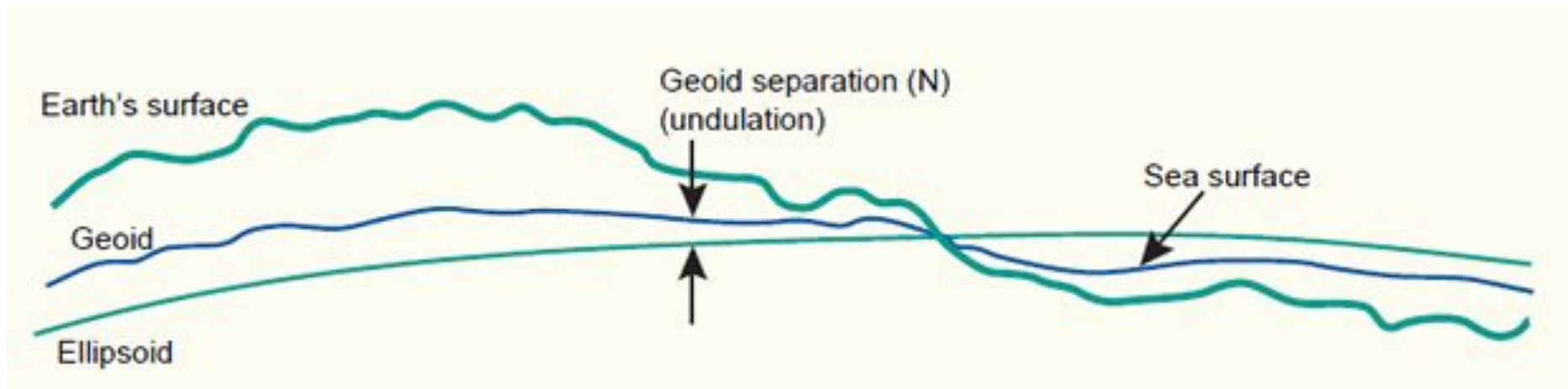
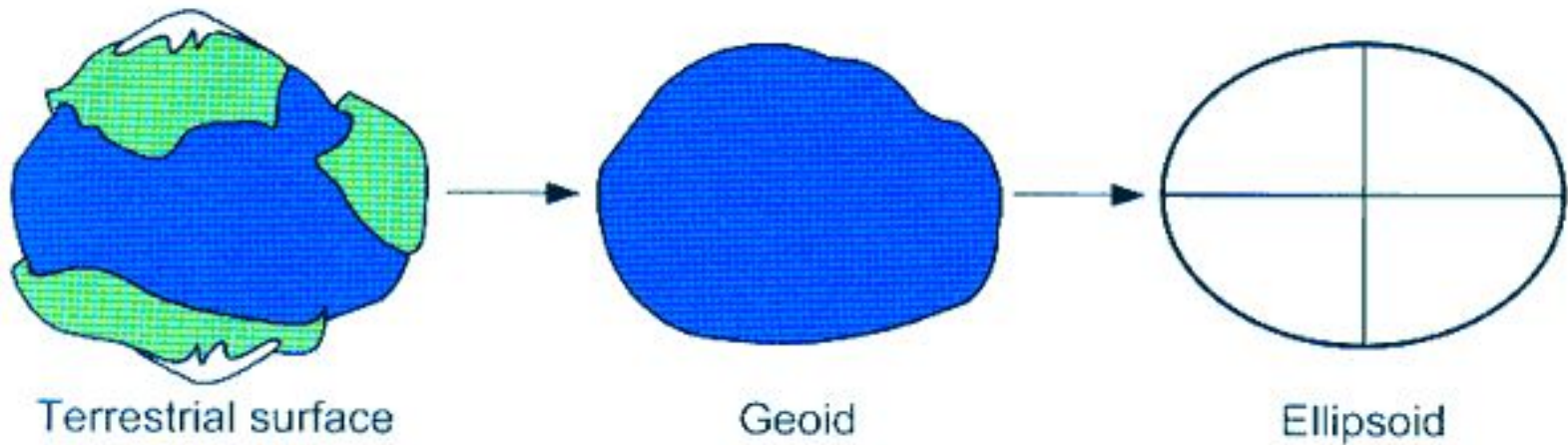


XYZ координаты юго-восточного угла крыши здания W.V. Young
кампуса университета Коннектикута.

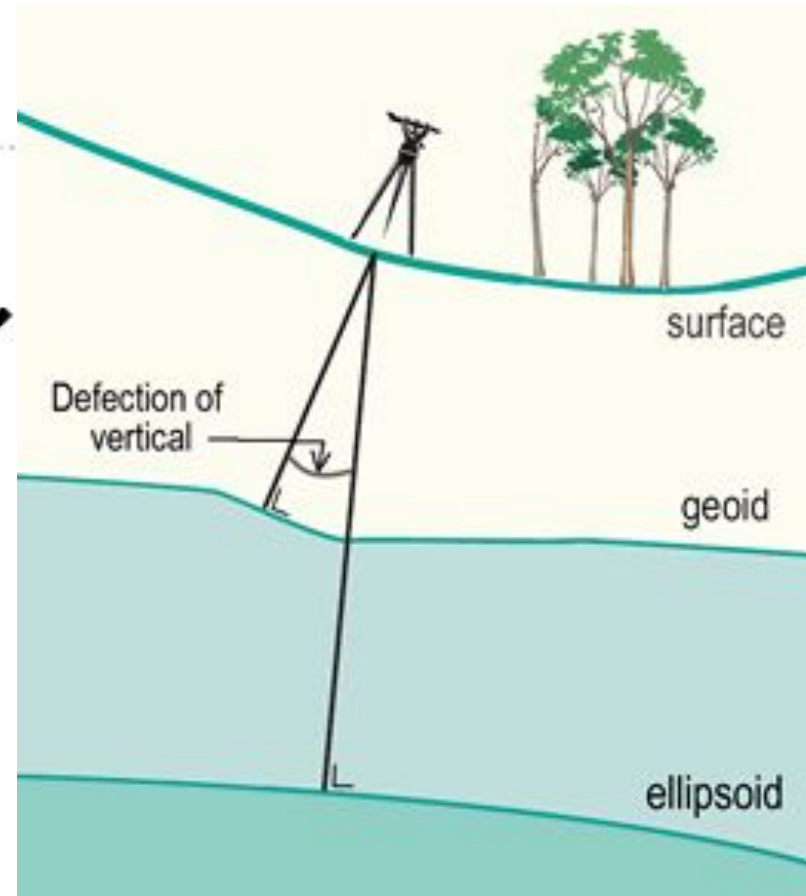
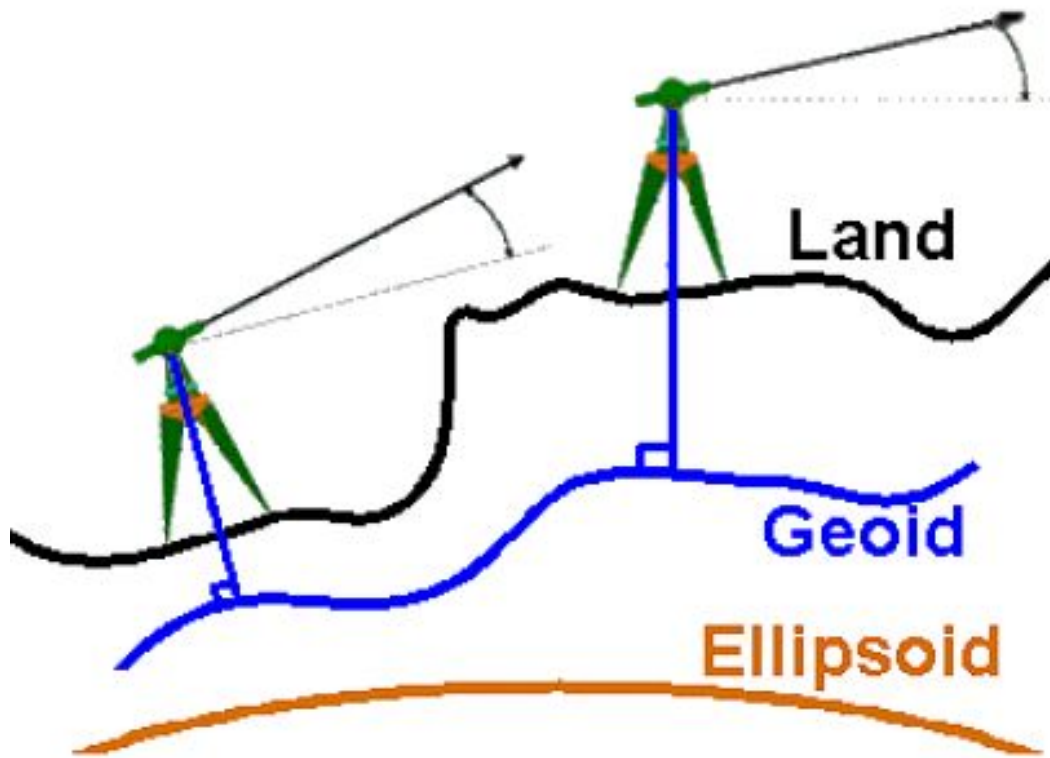
$x= 1451658,2$; $y= - 4534382,6$; $z= 4230142,1$



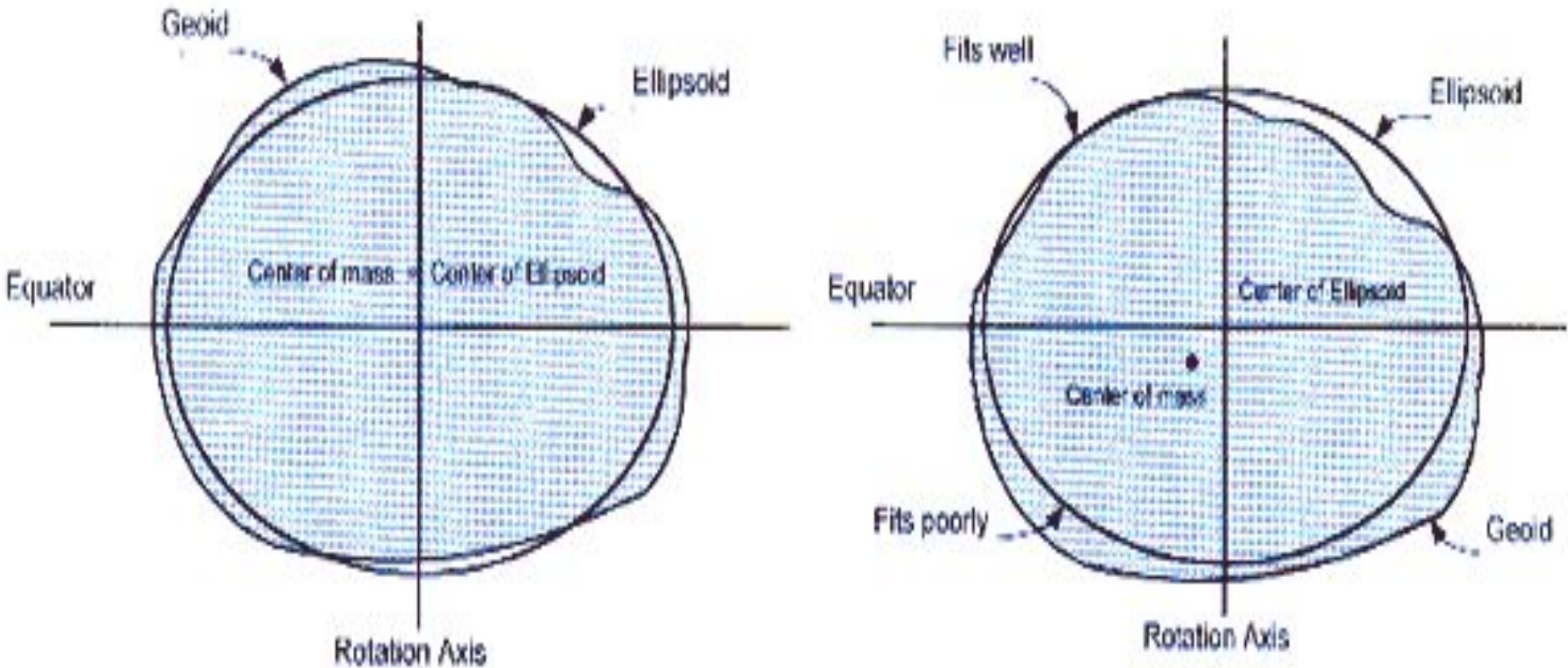
Соотношение реальной формы Земли, геоида и эллипсоида



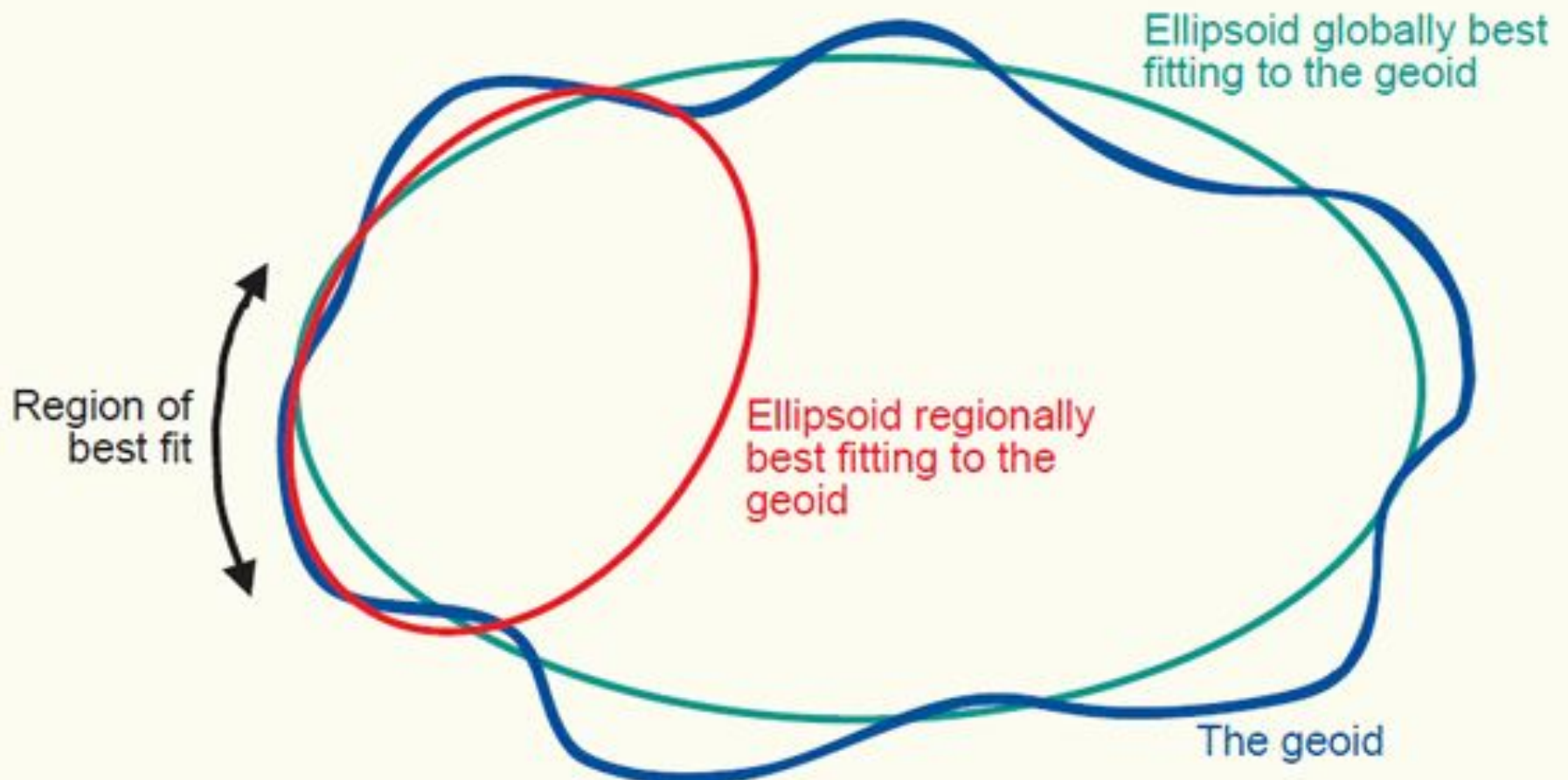
Соотношение земной поверхности, геоида и эллипсоида



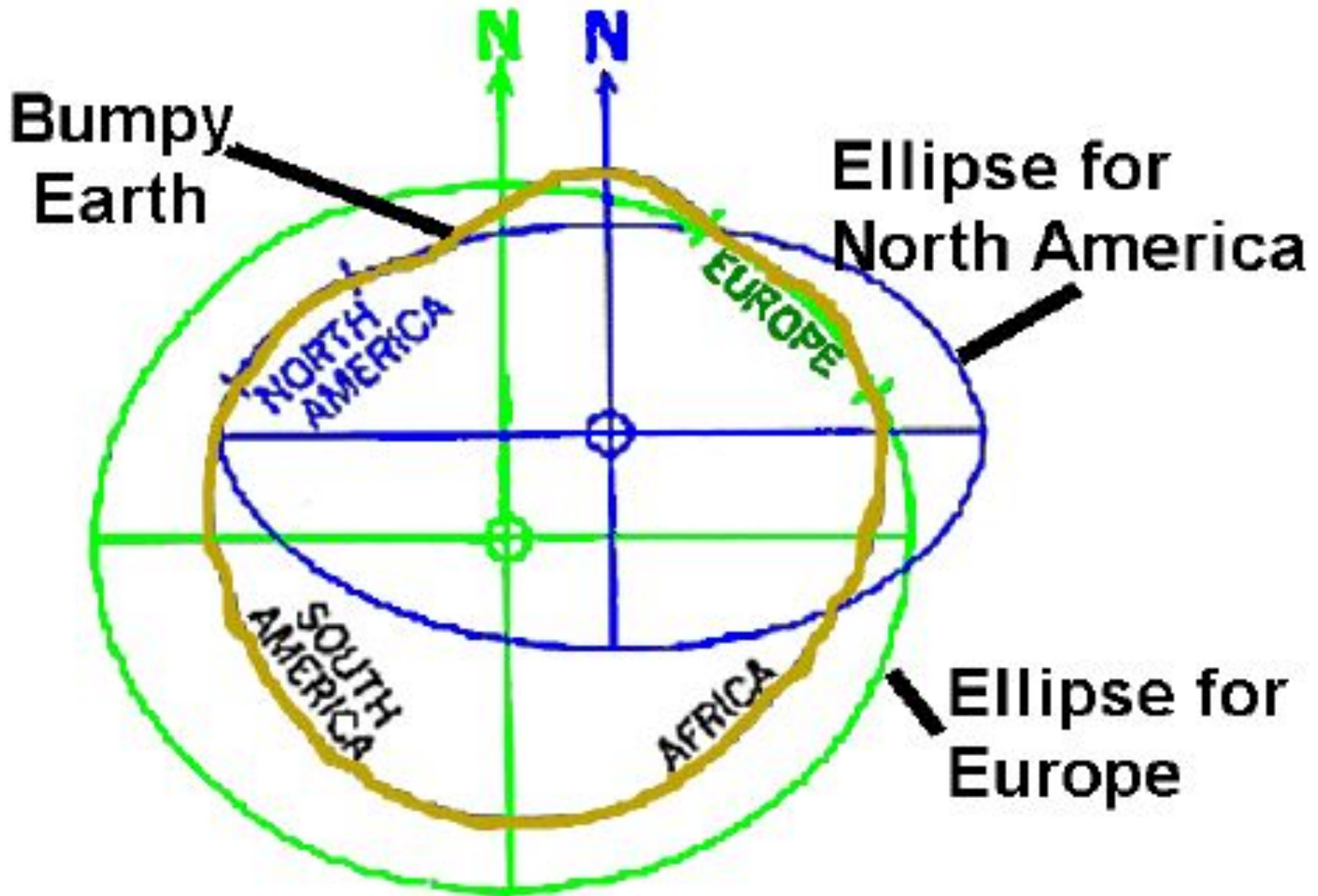
Глобальный (слева) и локальный референц-эллипсоиды



Глобальный и локальный референц-эллипсоиды



Схематическое изображение локальных эллипсоидов для Северной Америки и Европы на фоне формы Земли.



Вертикальные датумы

- North American Vertical Datum of 1988
- National Geodetic Vertical Datum of 1929

- Балтийская система высот 1950
- Главная система высот 1977

Горизонтальные датумы

- North American Datum of 1927 (NAD 27) (на эллипсоиде Кларка 1866)
- North American Datum of 1983 (на эллипсоиде Кларка, 1866)
- WGS84
- ПЗ90

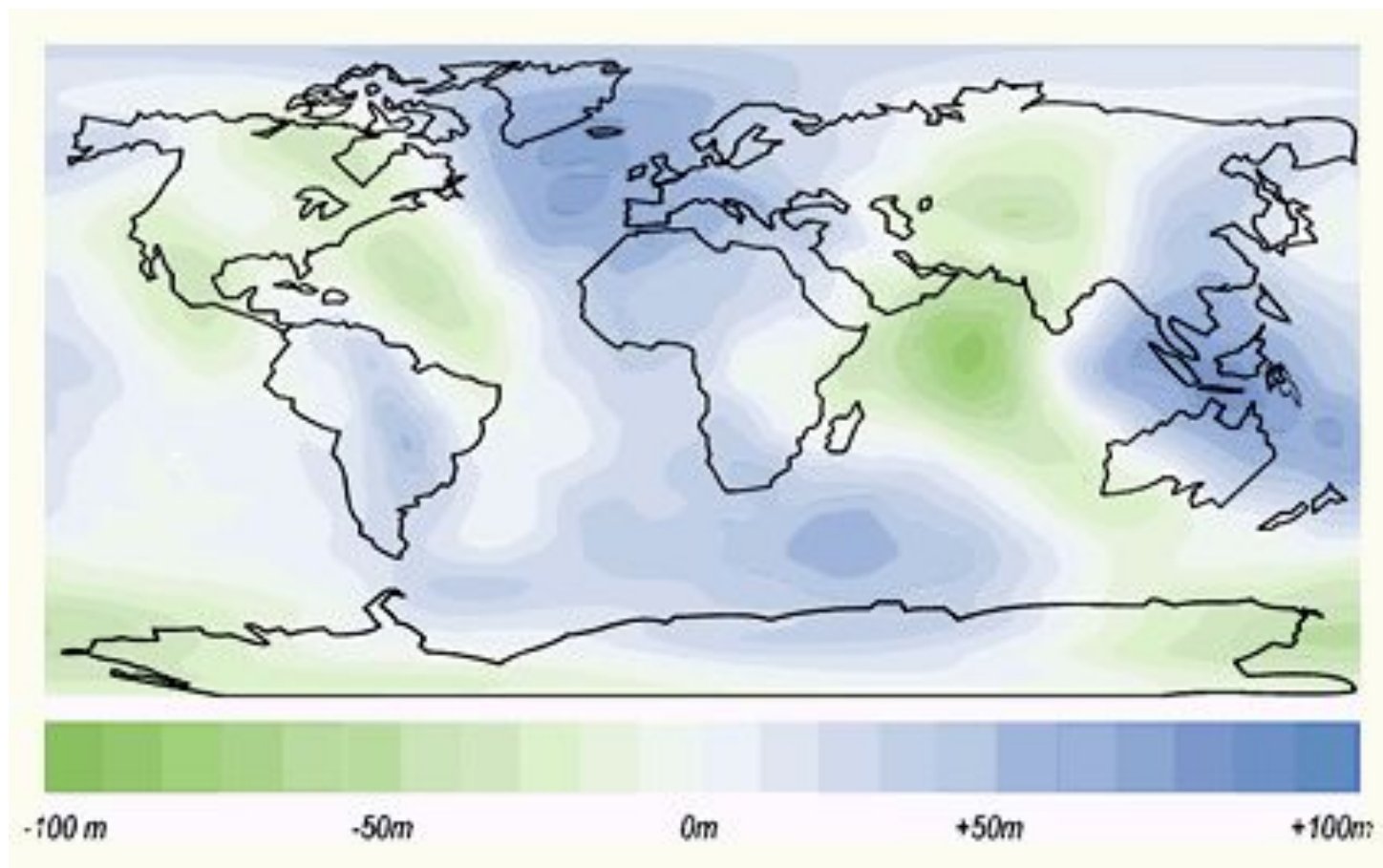
Некоторые датумы и их эллипсоиды

<i>Datum</i>	<i>Ellipsoid</i>
• Adindan	Clarke 1880
• European 1950	International 1924
• Pulkovo 1942	Krassovsky
• WGS 84	WGS 84

Важнейшие референц-эллипсоиды

$1/f$ Name	Equatorial axis (m)	Polar axis (m)	Inverse flattening,
Delambre, France 1810	6,376,985.0		308,6465
Airy 1830	6,377,563.4	6,356,256.913224	299.3249646
Bessel 1841	6,377,397.155	6,356,078.963	299.1528128
Alexander Ross Clarke	6,378,206.4	6,356,583.8	294.9786982
Helmert 1906	6,378,200.0	(close to WGS84!)	298.30
International 1924	6,378,388.0	6,356,911.9	297.0
Krassowski 1940	6,378,245.00	(for Eastern Europe)	298.3
Internat. 1967 <i>Luzern</i>	6,378,165.00	(incl. Sat.Geodesy)	298.25
WGS 1984	6,378,137.00	6,356,752.3142	298.257223563

Отличие высот геоида от референц-эллипсоида WGS84



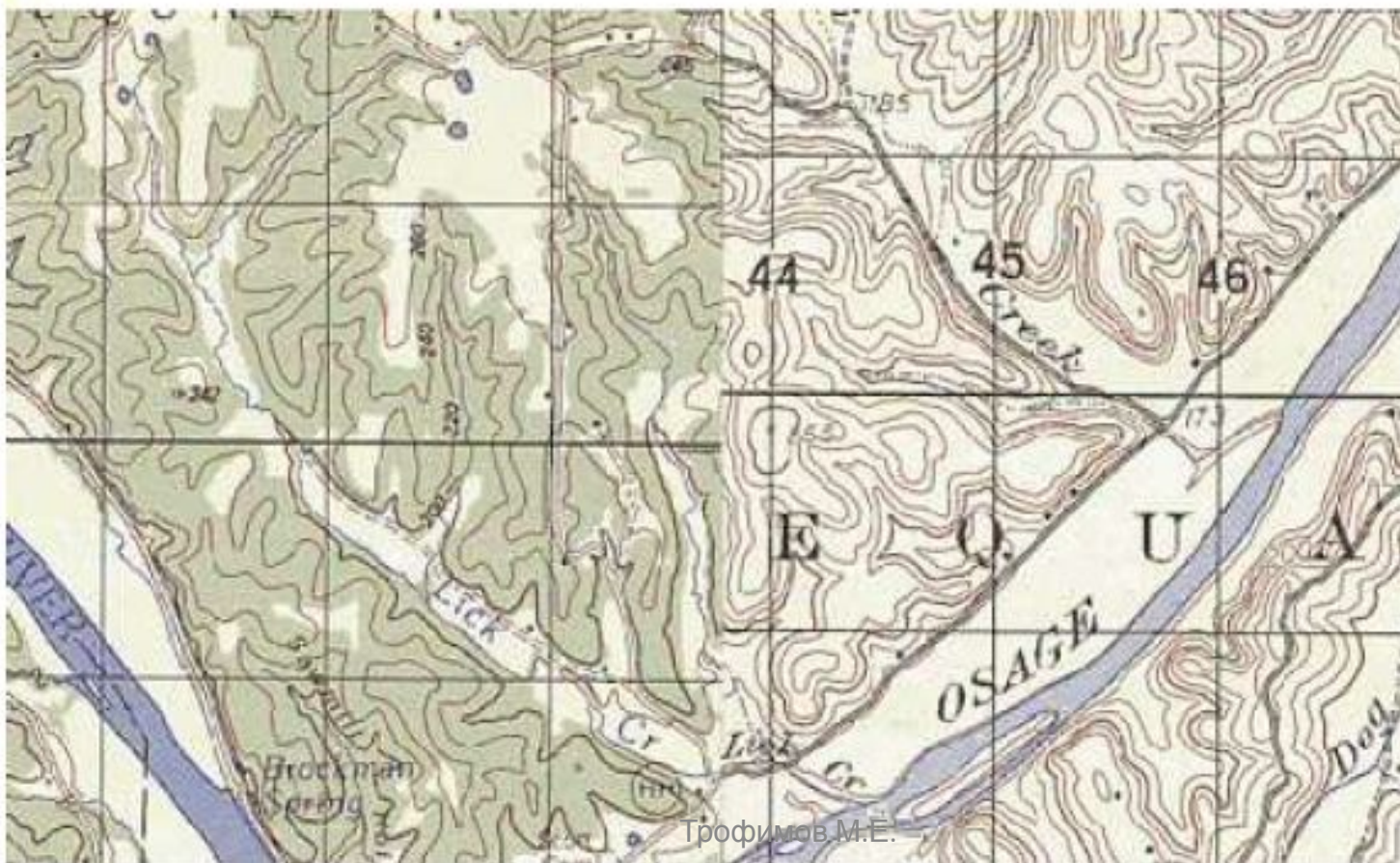
Различные вертикальные датумы – исчезновение горизонталей на бельгийско-голандской границе



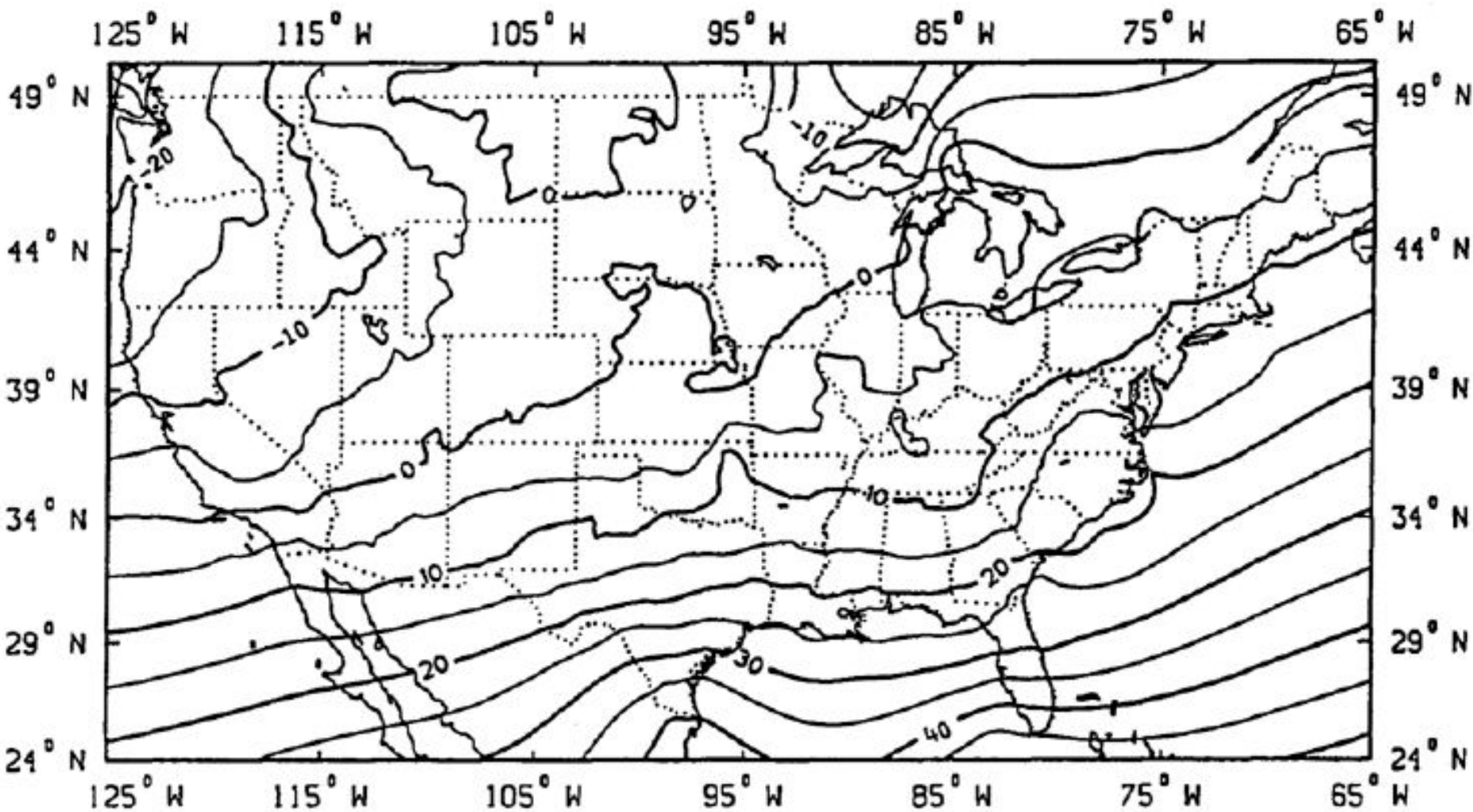
Различные горизонтальные датумы: сдвиг координатной сетки

Map Date 1989
WGS-84

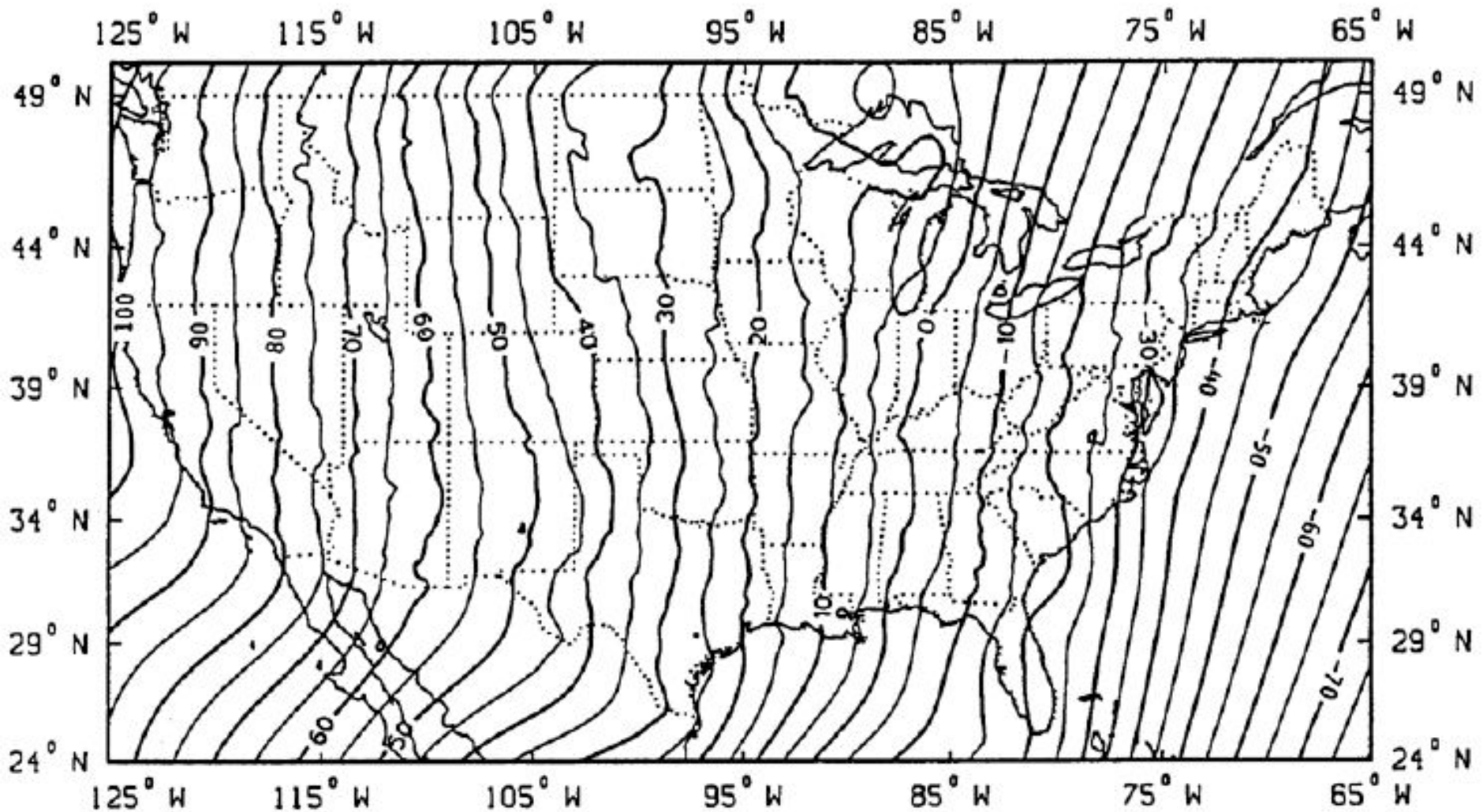
Map Date 1957
NAD-27



Смещение датумов NAD27 и NAD83 в зависимости от широты в метрах.



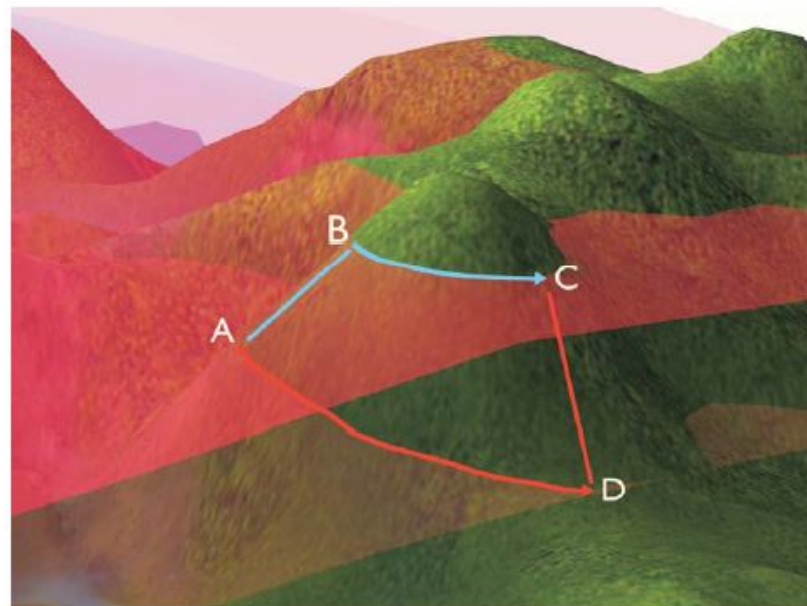
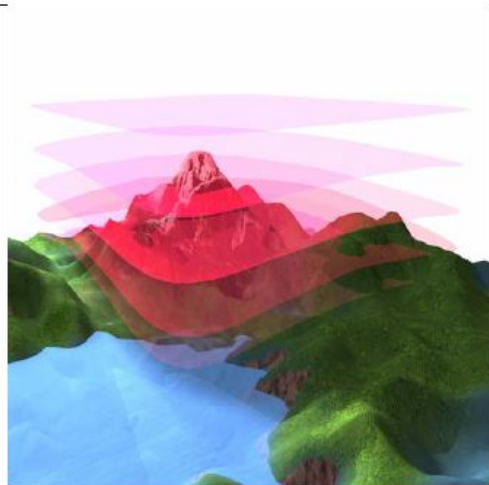
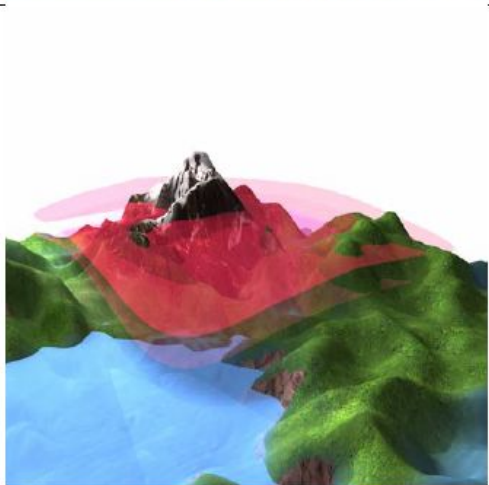
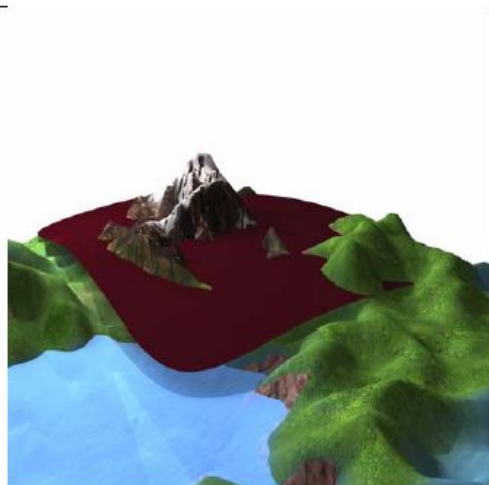
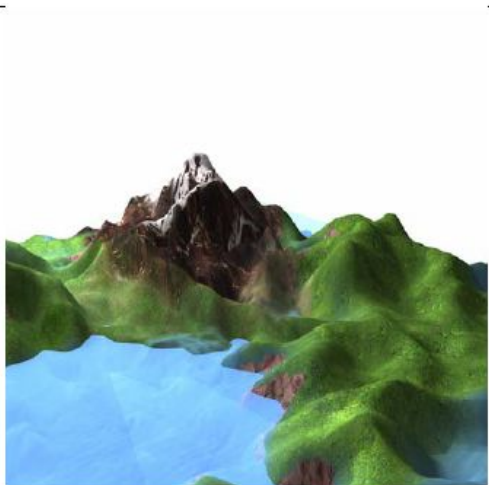
Смещение датумов NAD27 и NAD83 в зависимости от долготы в метрах.



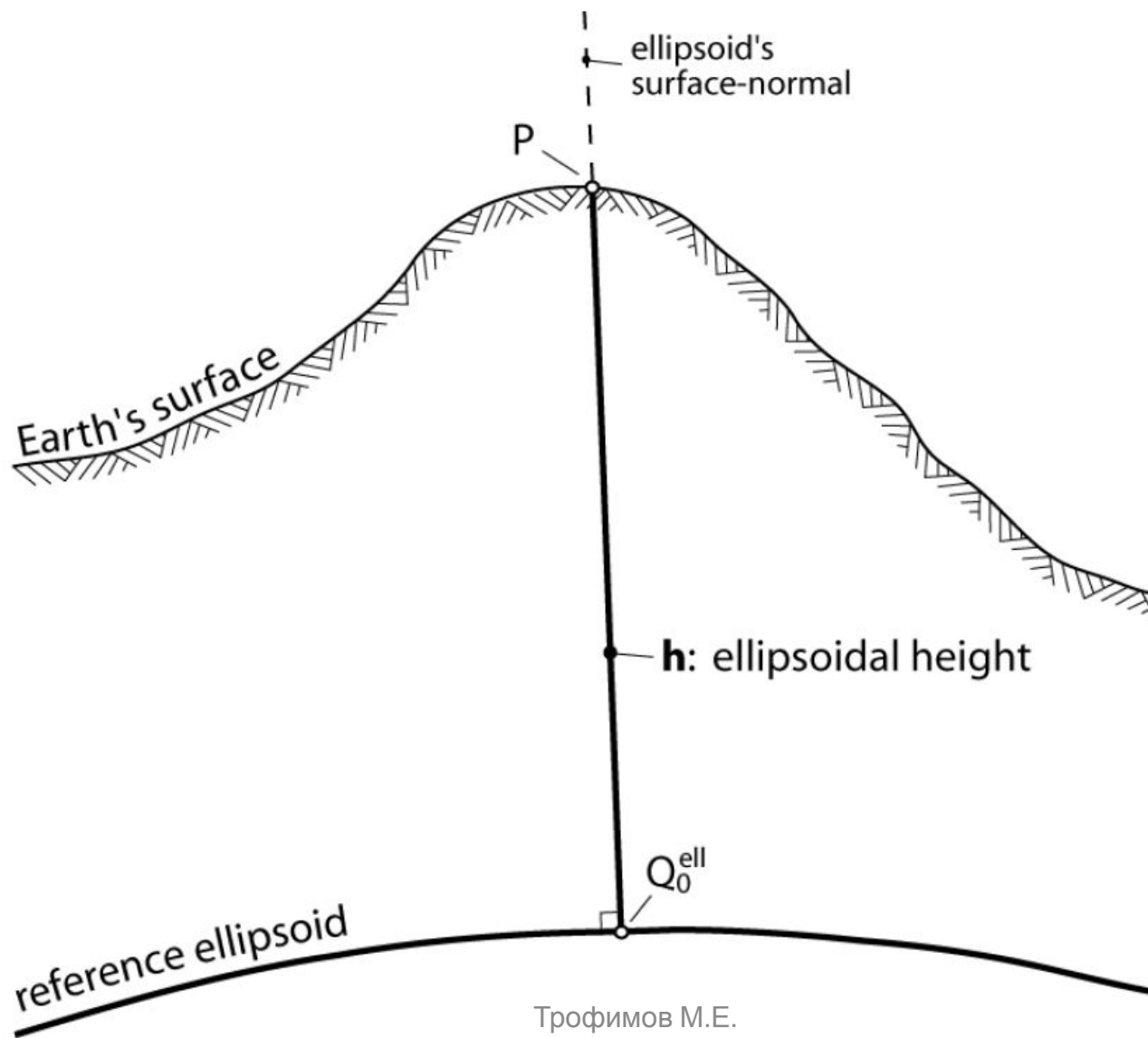
СИСТЕМЫ ВЫСОТ

- Эллипсоидальные
- Ортометрические
- Нормальные
- Динамические

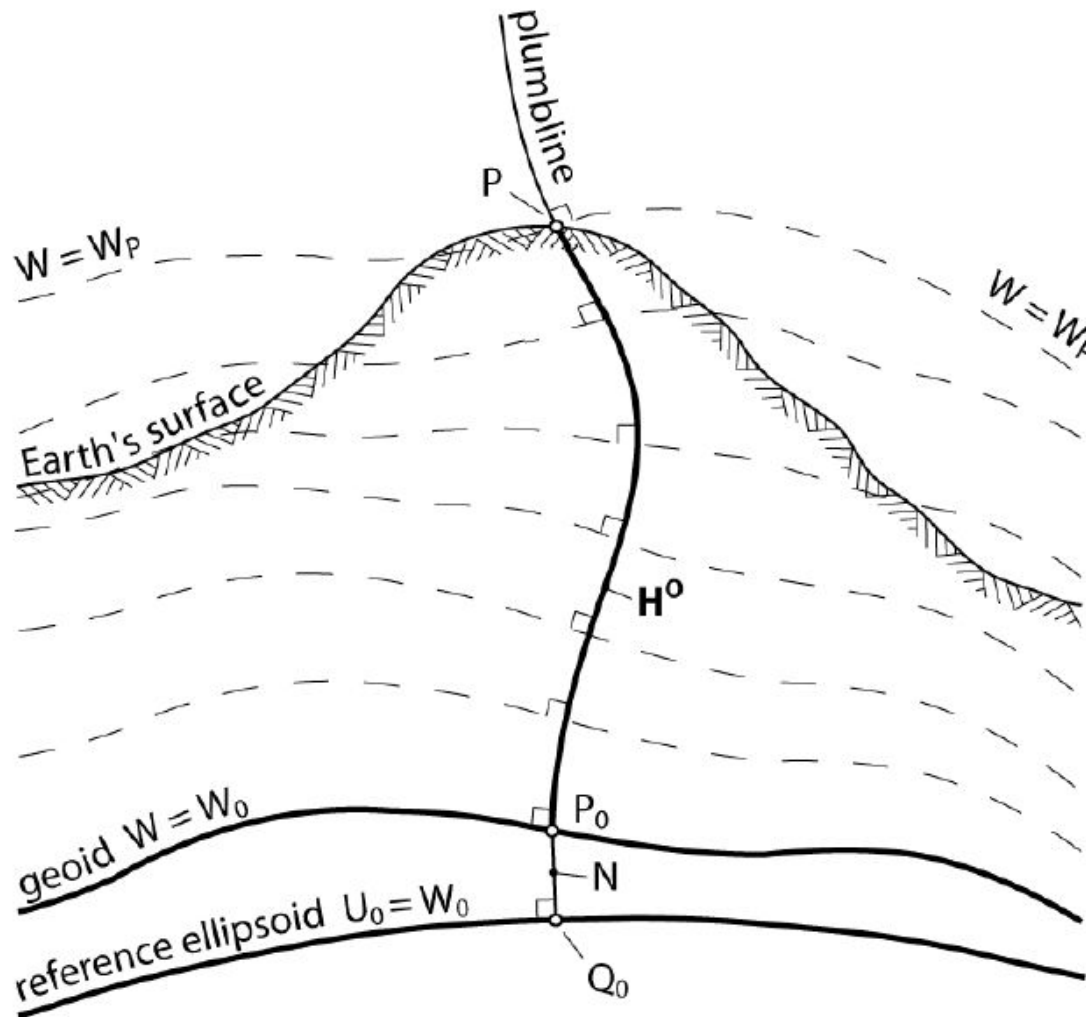
Гора и различные эквипотенциальные поверхности



Эллипсоидальная высота



Ортометрическая высота

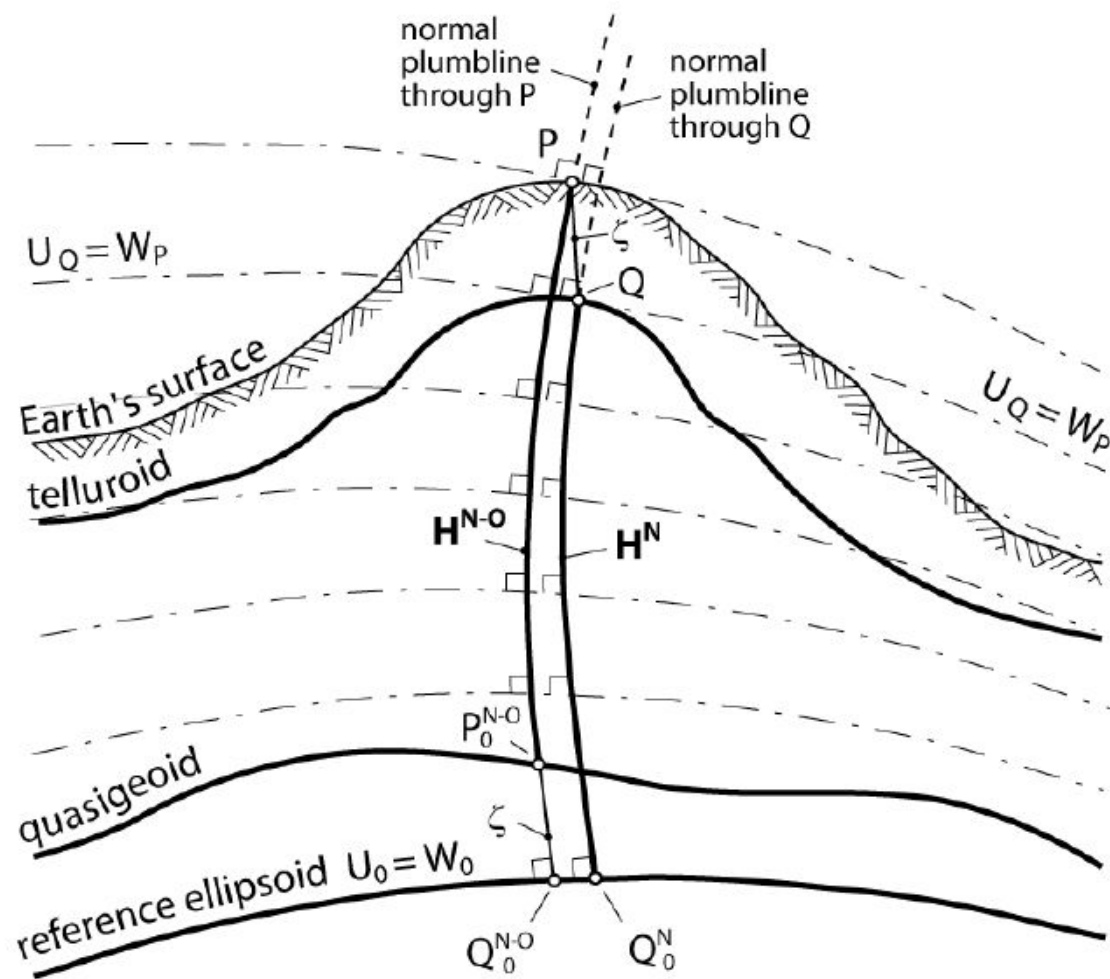


H^o : orthometric height

— — : equipotential surface $W = \text{const.}$

Трофимов М.Е.

Нормальная высота



H^N : normal height

H^{N-O} : normal-orthometric height

- - - : normal equipotential surface $U = \text{const.}$

Профимов М.Е.